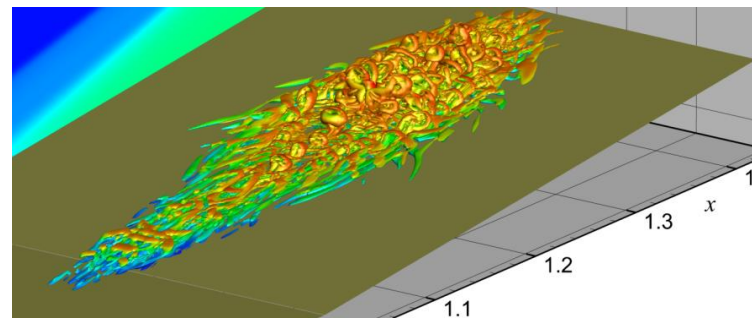


ПАКЕТ РАСЧЁТНЫХ ПРОГРАММ HSFLOW. ПРЯМОЕ ЧИСЛЕННОЕ МОДЕЛИРОВАНИЕ ЛАМИНАРНО-ТУРБУЛЕНТНОГО ПЕРЕХОДА ПРИ ГИПЕРЗВУКОВОМ ОБТЕКАНИИ.

Андрей В. Новиков, к.ф.-м.н.

Иван В. Егоров, д.ф.-м.н, чл.корр. РАН



Пакет расчётных программ HSFlow

- HSFlow = High-Speed Flow solver (с) НИО-8 ЦАГИ
- Моделирование течений сжимаемого вязкого газа с помощью численного решения нестационарных уравнений Навье-Стокса и Рейнольдса в двухмерной, осесимметричной и трёхмерной постановках
- Уравнения в консервативной безразмерной форме в криволинейных координатах
- Неявный численный метод конечного объёма второго порядка точности по пространству и времени
- Схема TVD (total variation diminishing) типа Годунова второго порядка аппроксимации по пространству
- Структурированные расчётные сетки

Расчётные сетки. Формат ввода вывода.

- Структурированные многоблочные сетки
- Стыковка между блоками типа *блок-в-блок* и *узел-в-узел*.
- Формат для хранения расчётных сеток и полей течений – международный стандарт CGNS (CFD General Notation System).
 - Разрабатывается международным комитетом «CGNS Steering Committee» (изначально в 1994 году Boeing и NASA) - <http://cgns.github.io/>
 - Компактный бинарный файл, доступ к данным посредством набора библиотечных кроссплатформенных процедур
 - Подробная документация, свободные реализации библиотеки, поддержка в большинстве коммерческих приложений (Pointwise, Ansys, TecPlot, etc.)
 - В HSFlow применяется последняя на 2015.11 версия 3.2.1

Метод параллельного решения

- Дискретизация системы в частных производных в каждом блоке независимо

$$\frac{3\mathbf{Q}_{i,j,k}^{n+1} - 4\mathbf{Q}_{i,j,k}^n + \mathbf{Q}_{i,j,k}^{n-1}}{2\Delta t} + \frac{\mathbf{E}_{i+1/2,j,k}^{n+1} - \mathbf{E}_{i-1/2,j,k}^{n+1}}{\Delta\xi} + \frac{\mathbf{G}_{i,j+1/2,k}^{n+1} - \mathbf{G}_{i,j-1/2,k}^{n+1}}{\Delta\eta} + \frac{\mathbf{F}_{i,j,k+1/2}^{n+1} - \mathbf{F}_{i,j,k-1/2}^{n+1}}{\Delta\zeta} = \mathbf{S}$$

- Распределённый вектор невязок
нелинейная система сеточных (алгебраических) уравнений: $\mathbf{F}(\mathbf{X}) = 0$
- Вектор \mathbf{X} – искомые функции во всех узлах сетки.
Например для сетки 500млн, вектор содержит 2.5e+9 значений > MAX_INT = 2.14e+9.
Для индексации требуется int64
- Нелинейная система решается по методу Ньютона $\mathbf{X}^{[k+1]} = \mathbf{X}^{[k]} - \epsilon_{k+1} \mathbf{D}_{k_0}^{-1} \mathbf{F}(\mathbf{X}^k)$

$\mathbf{D}_{k_0} = (\partial\mathbf{F}/\partial\mathbf{X})_{k_0}$ матрица Якоби по методу конечных приращений вектора невязки по вектору искомых сеточных переменных (параллельно)

- На каждой итерации Ньютона, решается линейная система уравнений методом GMRes

$$(\partial\mathbf{F}/\partial\mathbf{X})_{k_0} \Delta\mathbf{X}^{[k]} = -\epsilon_{k+1} \mathbf{F}(\mathbf{X}^{[k]})$$

- Решение с помощью **PETSc**:

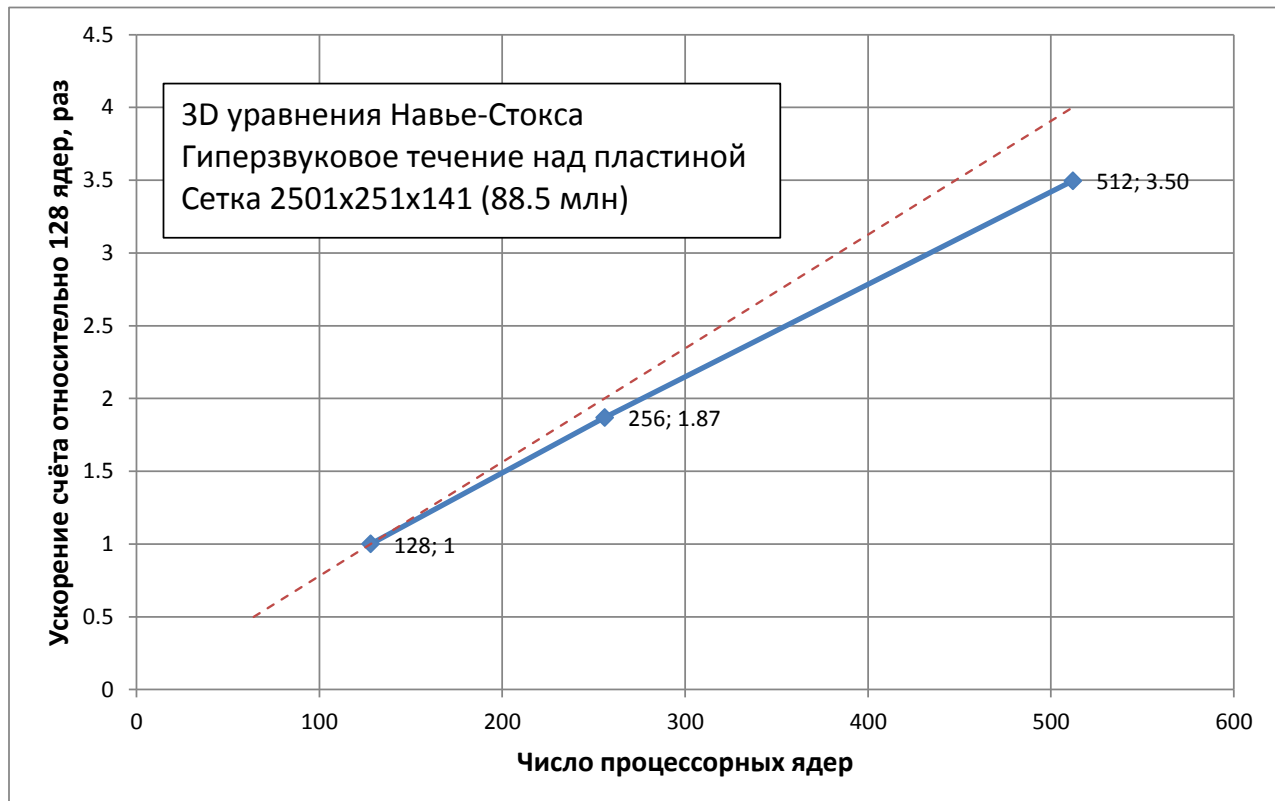
- Операции с распределёнными векторами и матрицами
- Параллельный метод deflated GMRes (**DGMRES**) с предобуславливателем Additive Schwarz Method (ASM)

PETSc: Portable, Extensible Toolkit for Scientific Computation

- Библиотека структур данных и процедур для распределённого (параллельного) решения научных задач, моделируемых уравнениями в частных производных
- Кроссплатформенная (Windows, Linux, etc.)
- Возможно применение в приложениях написанных на C/C++, Fortran, Python
- Использует MPI и BLAS
- Распространение в исходных кодах, свободное использование для любых целей
- <http://www.mcs.anl.gov/petsc/>

Производительность HSFlow на вычислительном кластере

- Расчёт на кластере лаборатории МФТИ *Flowmodellium* из вычислительных узлов с двумя 12ми-ядерными процессорами *Intel Xeon E5-2697 v2*
- Почти линейная масштабируемость

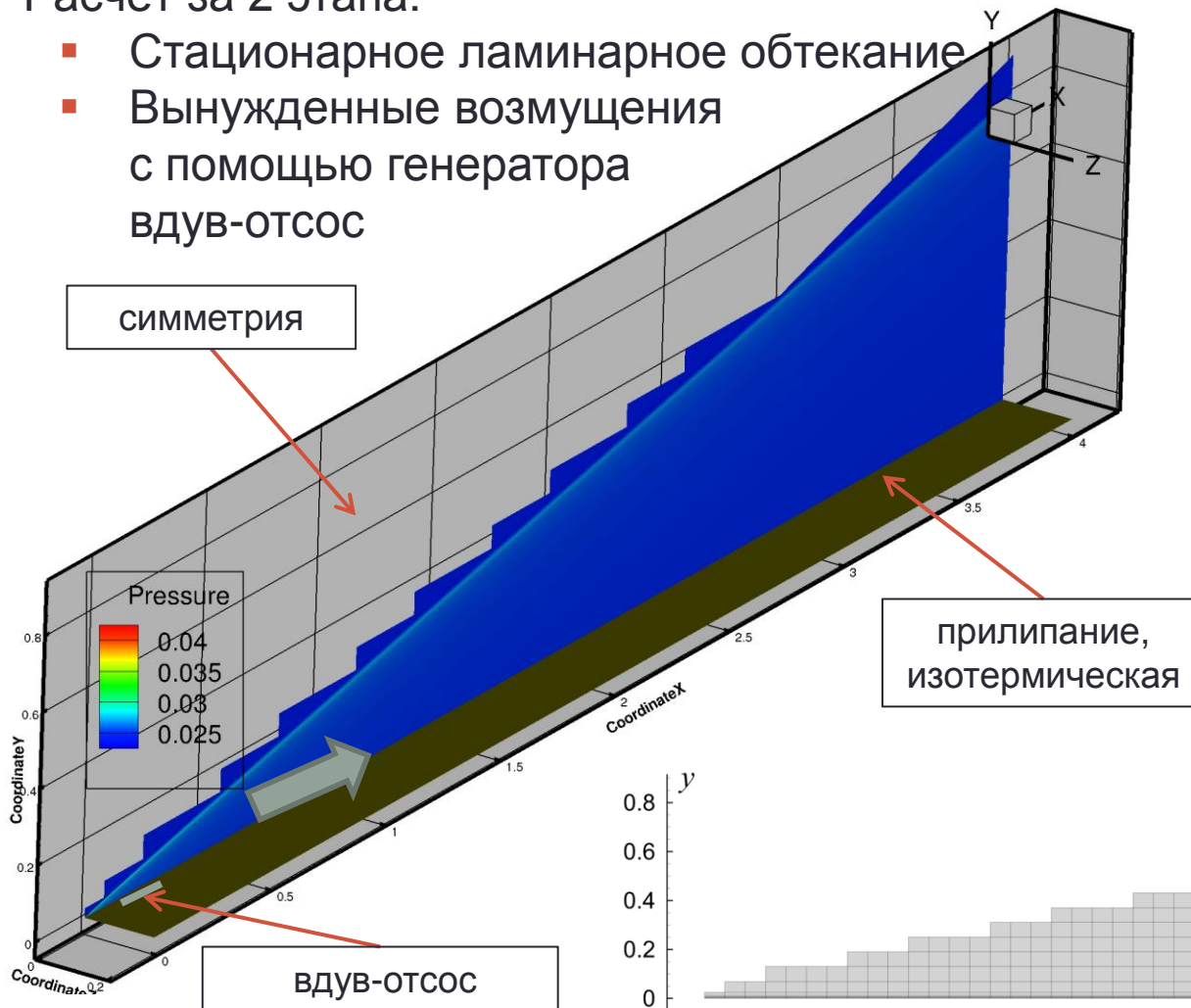


ПРЯМОЕ ЧИСЛЕННОЕ МОДЕЛИРОВАНИЕ ЛАМИНАРНО- ТУРБУЛЕНТНОГО ПЕРЕХОДА ПРИ ГИПЕРЗВУКОВОМ ОБТЕКАНИИ.

Распространение 3D возмущений над пластиной

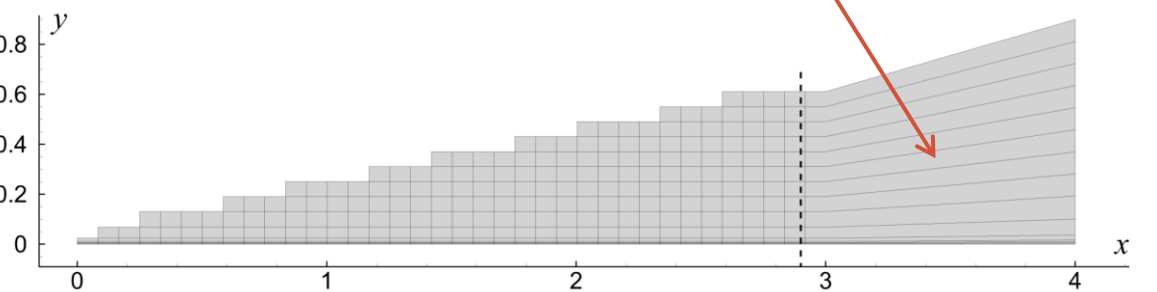
Постановка задачи

- 3D уравнения Навье-Стокса для вязкого сжимаемого совершенного газа
- Расчёт за 2 этапа:
 - Стационарное ламинарное обтекание
 - Вынужденные возмущения с помощью генератора вдув-отсос



$$\begin{aligned} M_\infty &= 5.373 \\ Re_{\infty 1} &= 14.3 \times 10^6 \text{ m}^{-1} \\ L^* &= 0.3161 \text{ m} \\ Re_{\infty L} &= 5.667 \times 10^6 \\ T_\infty &= 74.194 \text{ K} \\ T_w &= 300.0 \text{ K} = 4.043 \\ \gamma &= 1.4; \text{Pr} = 0.71 \end{aligned}$$

Сетка 250 млн узлов

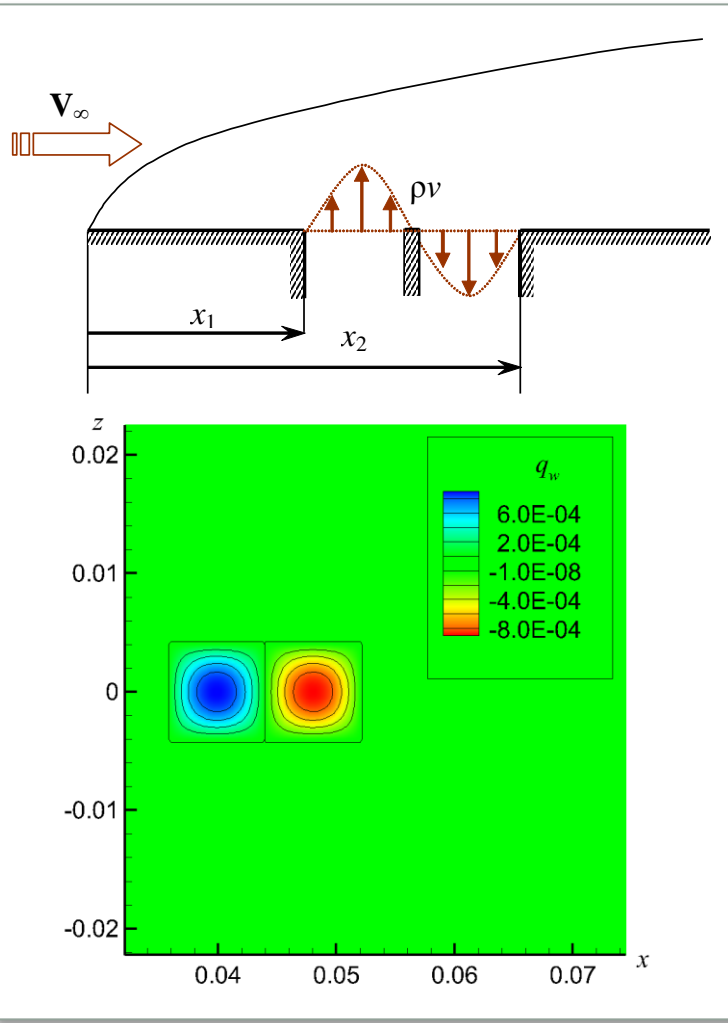


Вычислительные ресурсы

- ❑ Сетка 250 миллионов узлов, 1152 блока
- ❑ Расчёт на кластере лаборатории Flowmodellium, МФТИ, 1152 процессорных ядра (48 x 24)
- ❑ Файл расчётного поля – 9.34Гб + файл сетки 5.6Гб
- ❑ 10000 шагов по времени

Генератор возмущений

- Вдув-отсос через 2 квадратных отверстия на стенке



ГУ на массовый расход на стенке:

$$\rho_w v_w = \varepsilon \times \sin\left(2\pi \frac{x - x_1}{x_2 - x_1}\right) \times \sin\left(\pi \frac{z - z_1}{z_2 - z_1}\right) \times \sin(\omega t)$$

$$x_1 < x < x_2 ; z_1 < z < z_2 ; 0 < t < \infty$$

$$d = 0.00815 \text{ (} d^* = 2.6 \text{ mm) }$$

$$x_1 = x_0 - d; x_2 = x_0 + d; 1) x_0 = \mathbf{0.044}$$

$$z_1 = -d/2; z_2 = d/2$$

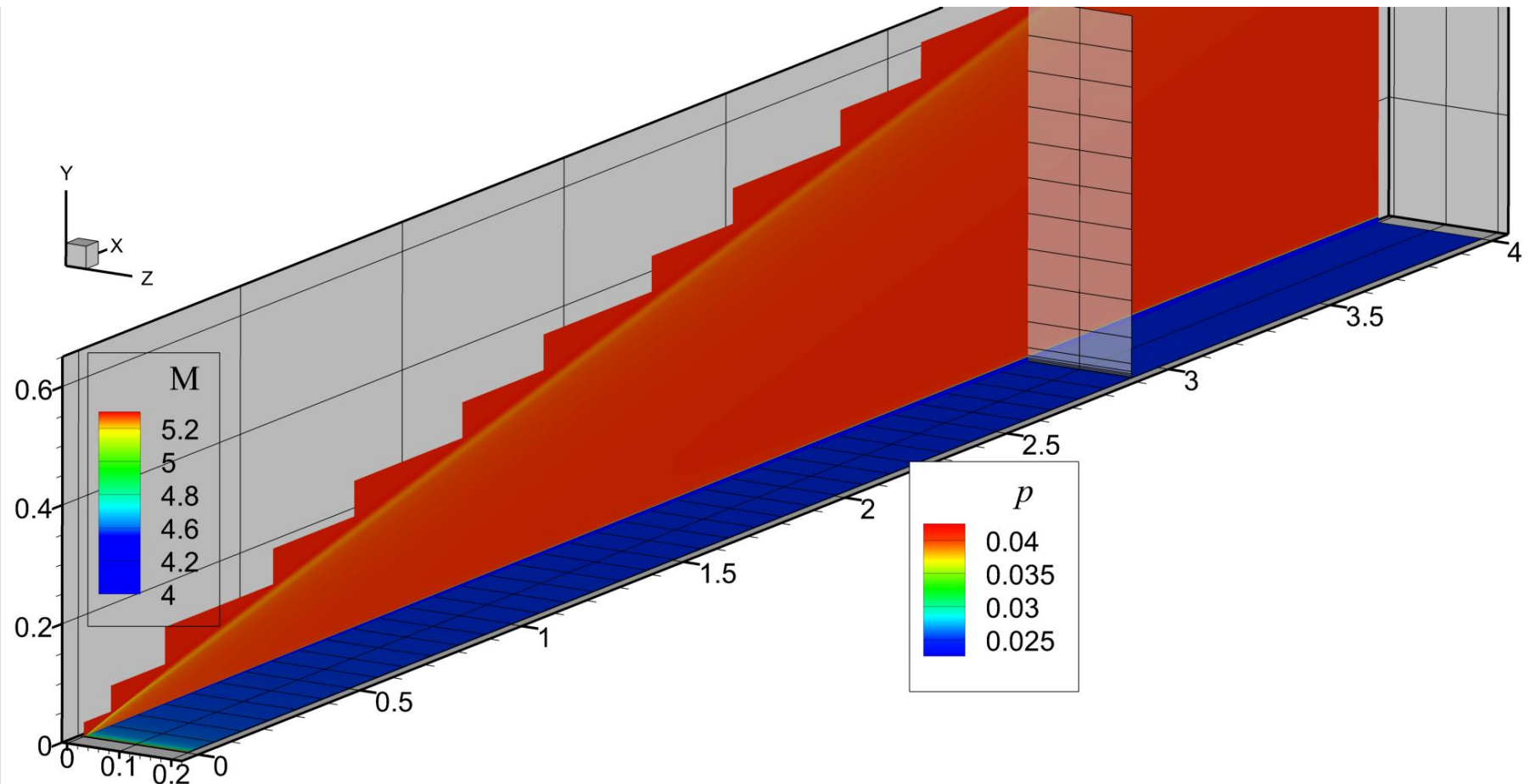
Частота воздействия:

- $\omega = 125$ ($f^* = 58.37$ kHz) – типично для I моды

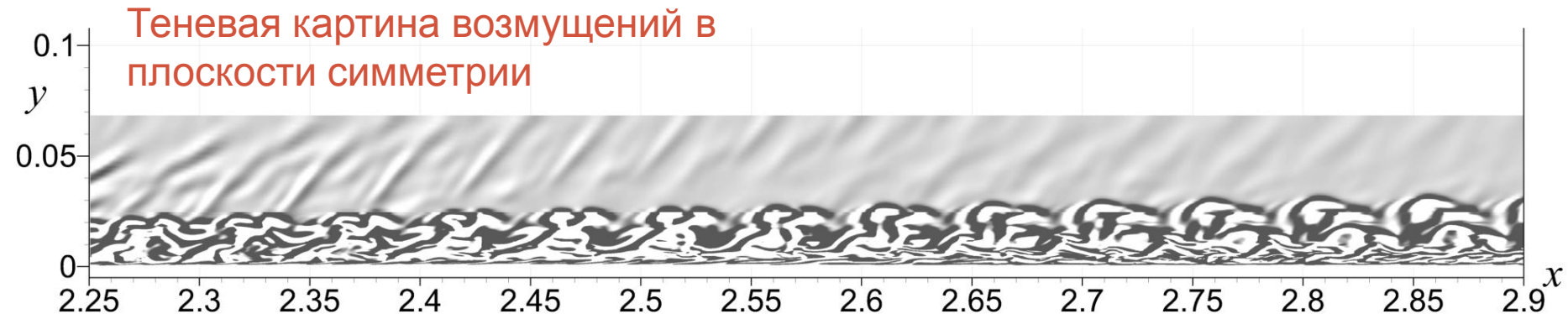
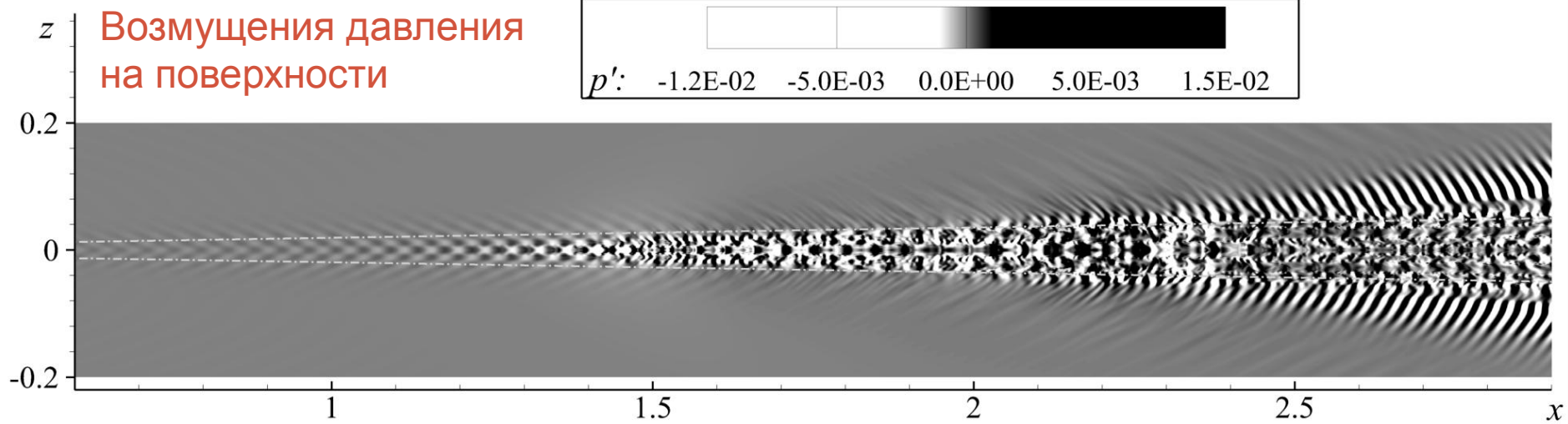
Амплитуда воздействия:

$$\varepsilon = 0.001$$

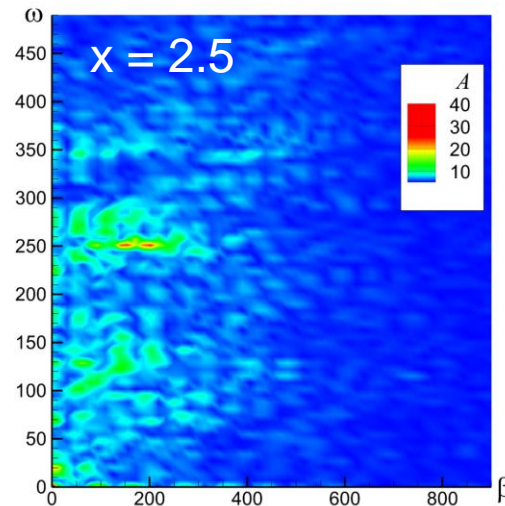
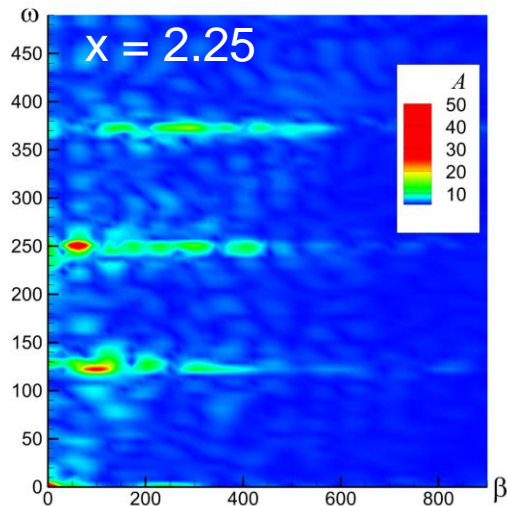
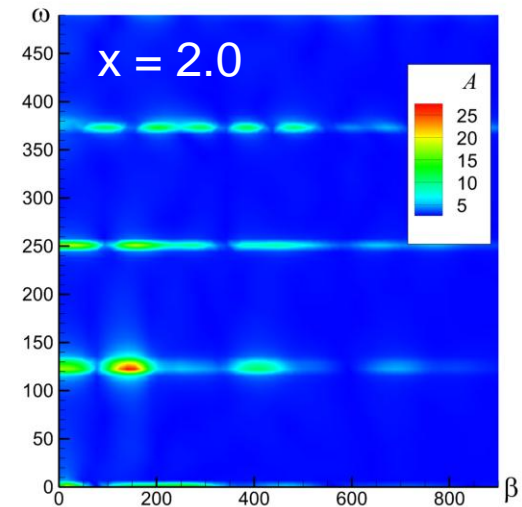
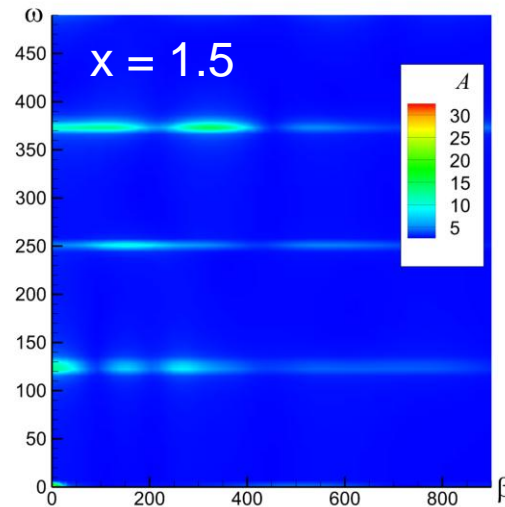
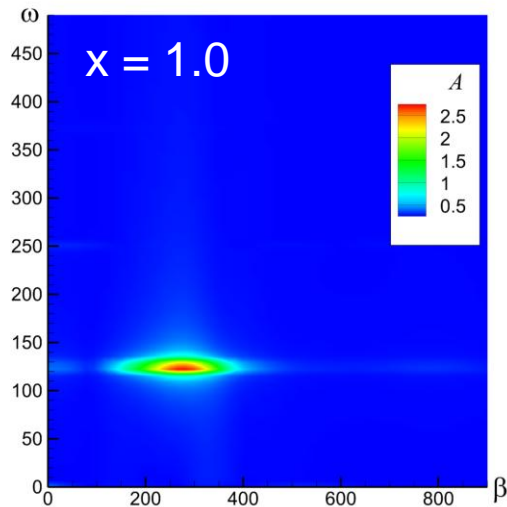
Стационарное ламинарное обтекание



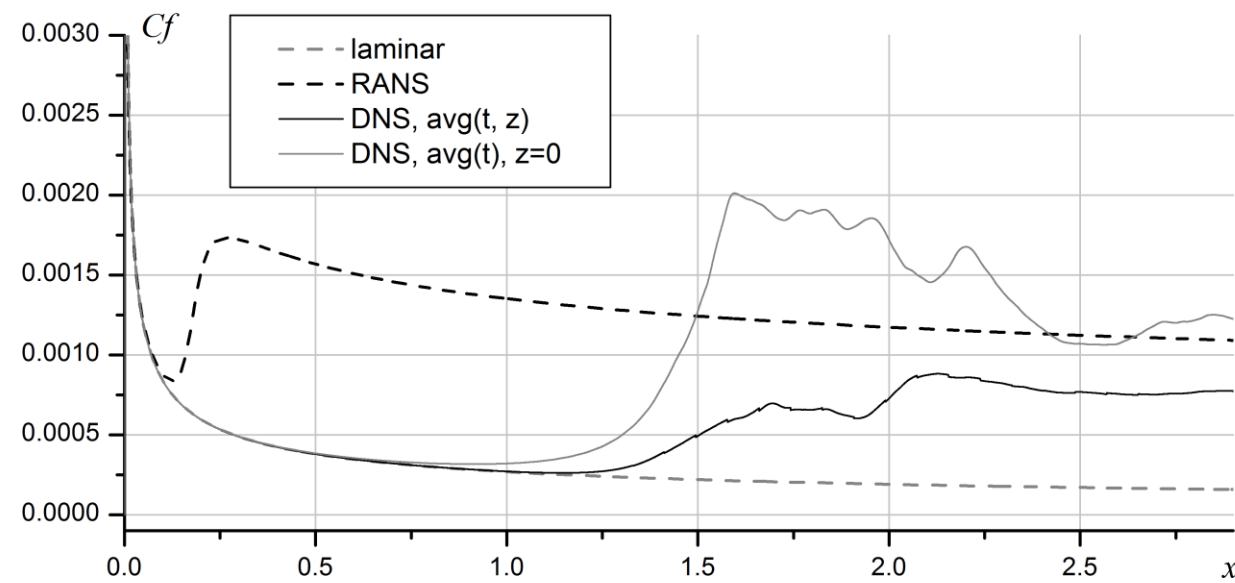
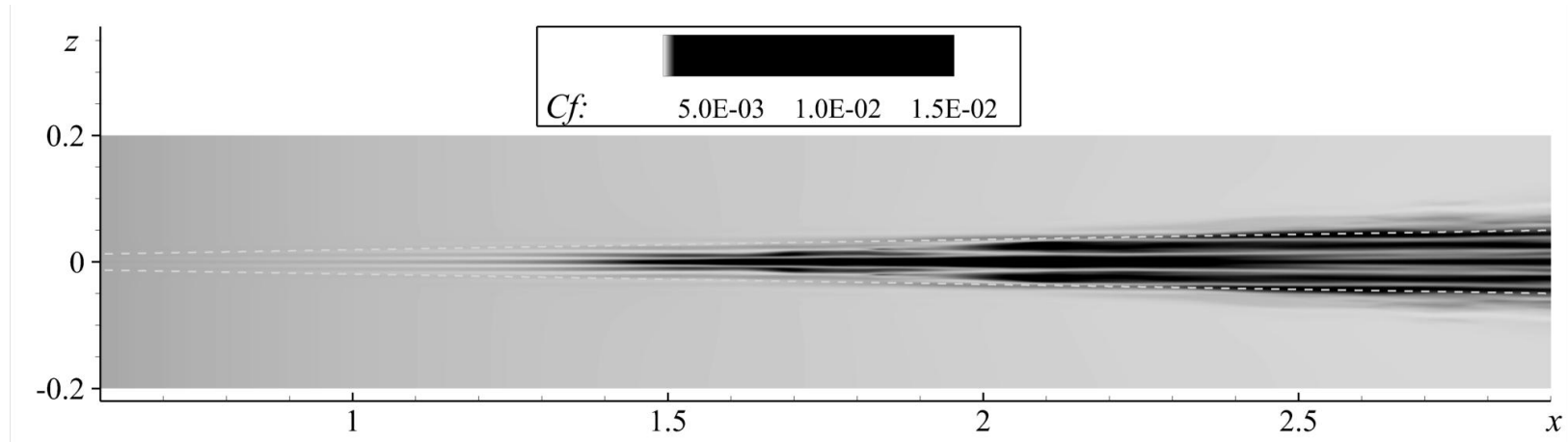
Мгновенные поля возмущений



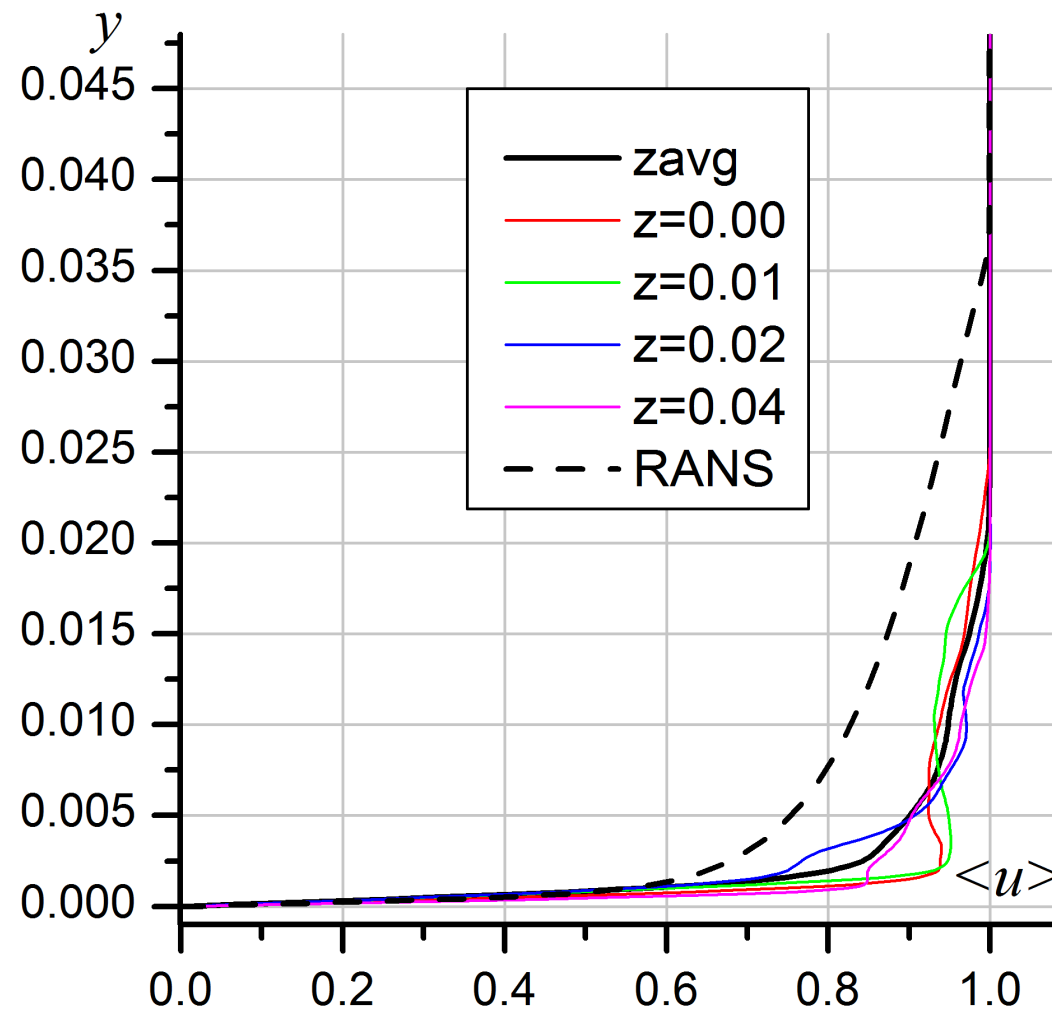
Спектры по частоте и поперечному волновому числу при различных X



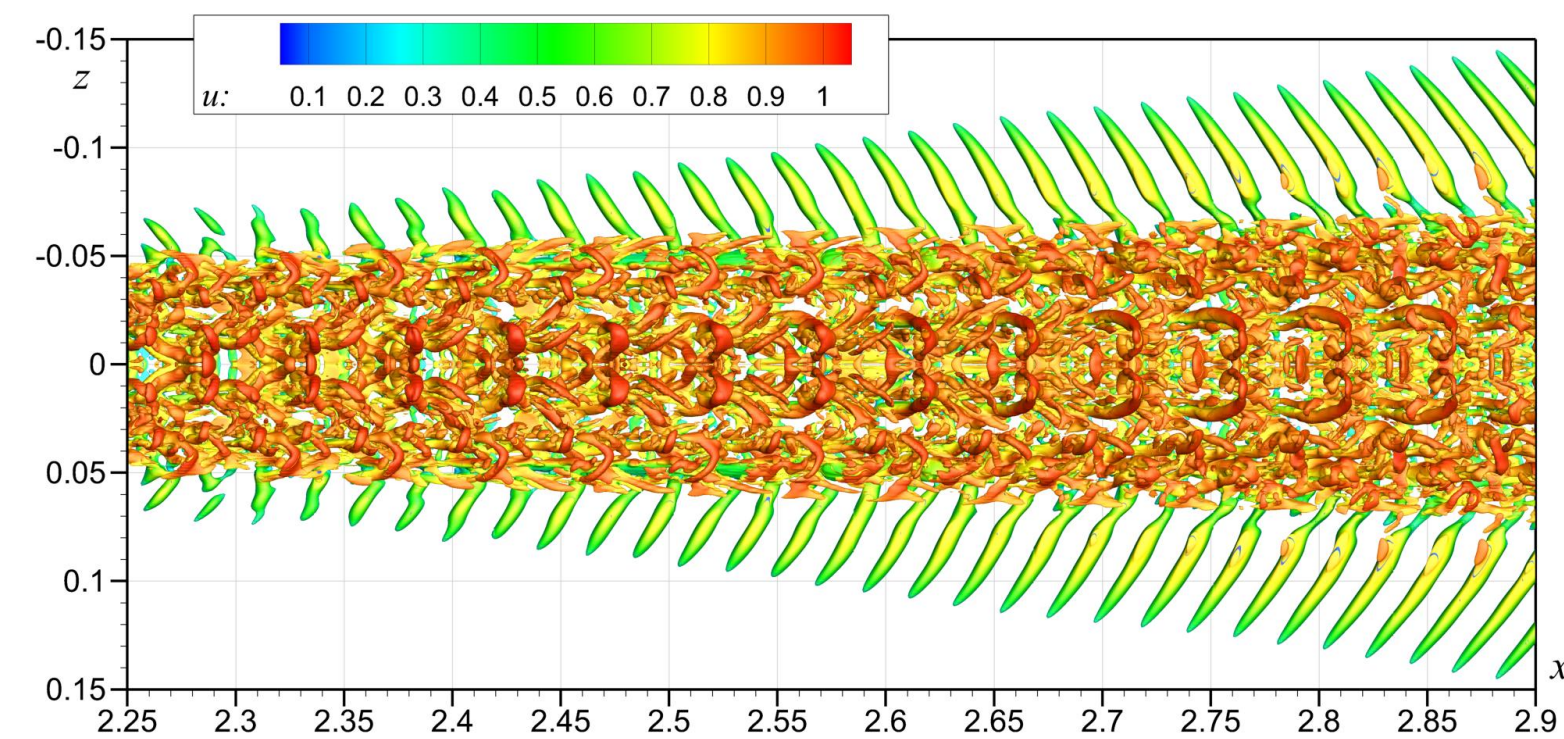
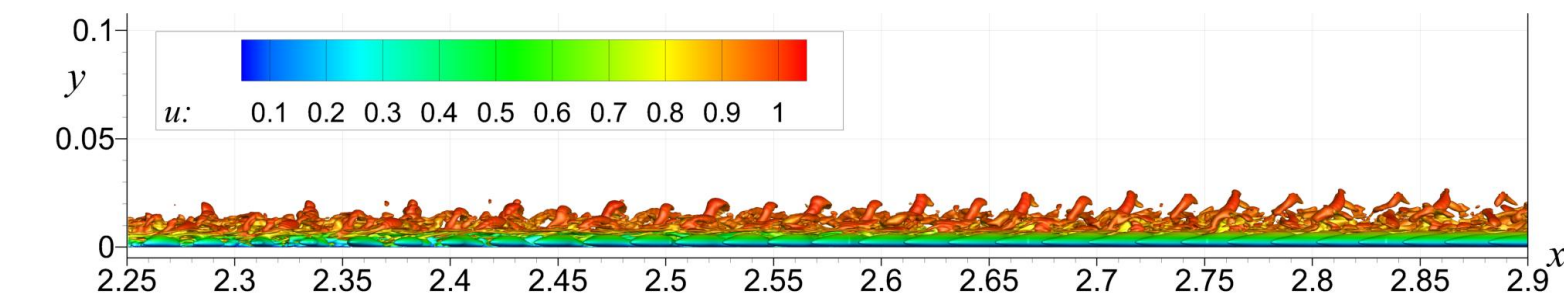
Коэффициент трения на поверхности, осреднённый по времени



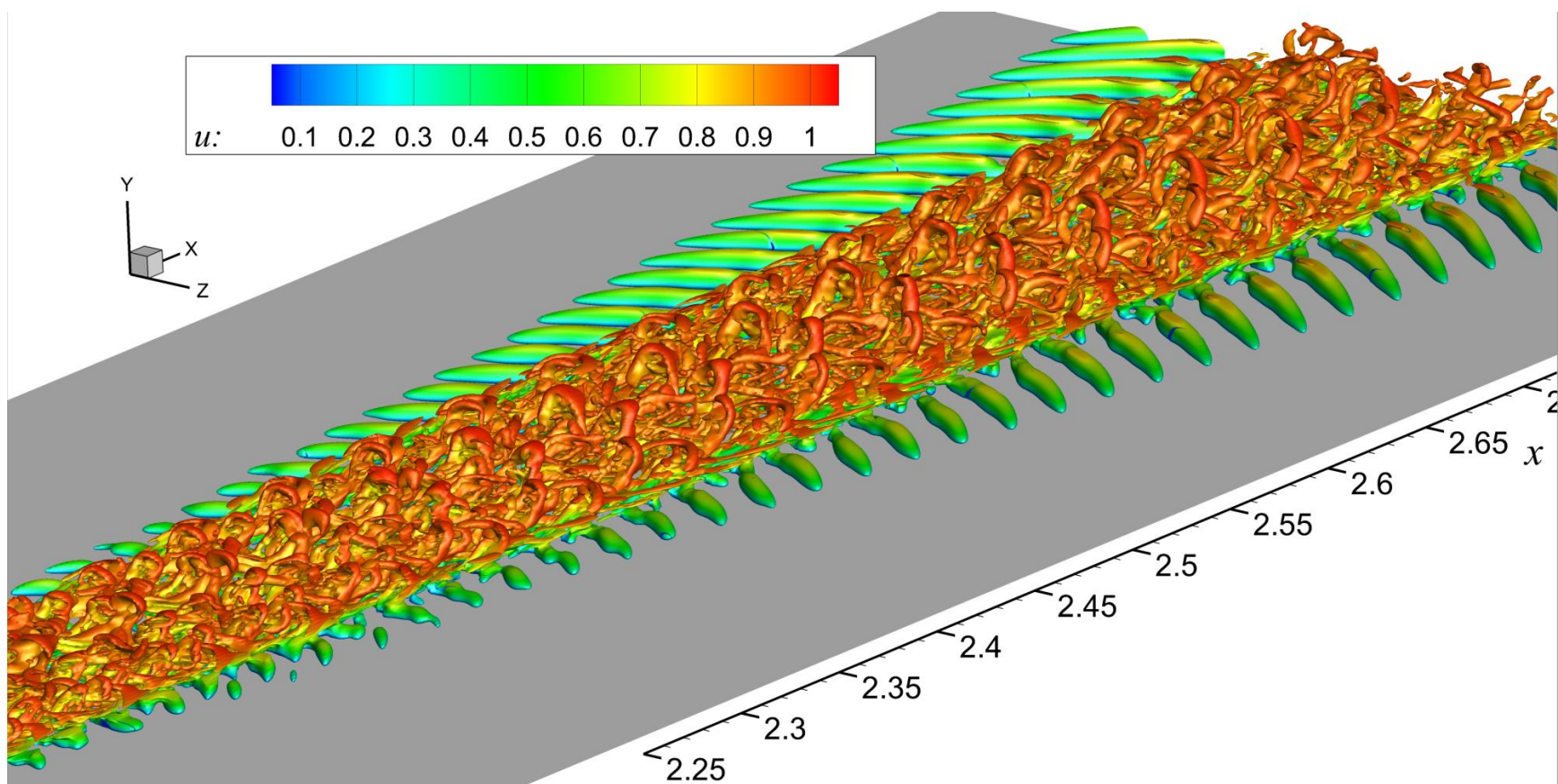
Осреднённый профиль при $x=2.5$



Вихревые структуры, Q-критерий=100



Вихревые структуры, Q-критерий=100



Заключение

- ❑ Применяемый численный метод позволяет моделировать процесс ламинарно-турбулентного перехода от начальной линейной стадии до конца нелинейного разрушения.
- ❑ Пакет расчётных программ HSFlow позволяет проводить эффективные распределённые вычисления на вычислительных кластерах с применением тысяч процессорных ядер

Текущие работы

- Гибридные модели турбулентности – расчёт линии перехода на основе теории устойчивости
- Моделирование неравновесных физико-химических процессов